

# تخمین عرض مؤثر دیوارهای برشی بتی L-شکل با استفاده از روش رگرسیون‌گیری EPR

هائف عیدوس (دانشجوی دکتری)

علیرضا خانو<sup>\*</sup> (استاد)

محمد طبیعی (دانشجوی دکتری)

دانشکده مهندسی عمران، دانشگاه صنعتی شریف

مهندسي عمران شريف، (قمستان ۱۴۰)، ۳۶۱۰۱، آنژهشی  
دوری ۲ - ۳، شماره ۲ / ۳، ص.

عرض مؤثر به عنوان پارامتری مهم در تعیین عملکرد دیوارهای برشی بتی با مقاطع غیرمستطیلی محسوب می‌شود. بر اساس ضوابط پیشنهادی آینین‌نامه‌ها و پژوهش‌های موجود در ادبیات فنی، مقادیری توصیه شده است که مستقل از چگونگی عملکرد دیوار، مقداری ثابت را به عنوان عرض مؤثر مقاطع در نظر می‌گیرد و ناکارآمدی آنها در بیشتر موارد محرز شده است. در مطالعه‌ی حاضر، ۴۲ دیوار برشی با مقاطع L-شکل تحت بارگذاری چرخه‌یی قرار گرفته و به صورت عددی ارزیابی شده‌اند. ساخت هندسه‌ی نمونه‌ها در برنامه‌ی FlashLab انجام شده و تحلیل مقاطع در نرم‌افزار آباکوس صورت گرفته است. سپس توزیع تغییرشکل و کرنش محوری حاکم بر مقاطع مذکور تعیین و در کام بعد با استفاده از روش رگرسیون‌گیری چندجمله‌یی تکاملی EPR، روابطی کاربردی جهت تخمین عرض مؤثر در دیوارهای L-شکل کوتاه، با رفتار ترکیبی و لاغر ارائه شده است. در انتها، دقت روابط پیشنهادی با مقادیر عرض مؤثر حاصل از ضوابط آینین‌نامه‌ای بین‌المللی مقیسه شده‌اند.

abdoos\_hatef@yahoo.com  
khaloo@sharif.edu  
m.tabiee75@chmail.ir

وازگان کلیدی: دیوار برشی بتی L-شکل، عرض مؤثر، تأخیر برشی، مدل اجزاء محدود، رگرسیون‌گیری چندجمله‌یی تکاملی (EPR).

## ۱. مقدمه

امروزه از دیوارهای برشی بتی با مقاطع غیرمستطیلی I-, T-, L-, Z-, Y- و U- شکل در ساخت سازه‌ها استفاده می‌شود، که موقعیت قرارگیری آنها بر مبنای ملاحظات سازه‌ی و معماری است. بر اساس هندسه‌ی دیوارهای برشی بتی ذکر شده، علاوه بر بارگذاری‌های برشی و خمشی، متناظر با موقعیت مرکز برش مقاطع می‌توانند در معراض بارگذاری پیچشی نیز قرار گرند. همچنین، در محدوده‌ی محل اتصال بال به جان در مقاطع غیرمستطیلی اخیر، تغییرشکل‌های اعوجاجی منجر به بیشتر شدن مقادیر تنش و کرنش در نواحی اشاره شده می‌شوند، که به تبع آن کمتر شدن سختی و ظرفیت بارگیری مقاطع را به همراه خواهد داشت پدیده‌ی اخیر، تأخیر برشی<sup>[۱]</sup> نام دارد، که به غیرخطی شدن توزیع کرنش در مقاطع منجر می‌شود و تحلیل و طراحی مقاطع غیرمستطیلی را دشوار خواهد کرد.<sup>[۲]</sup>

اوین مطالعات صورت گرفته پیرامون این موضوع، به صورت تحلیلی و بر روی تیرهای بتی با مقاطع غیرمستطیلی انجام شده است، که فقط در ناحیه‌ی کشسان معیّر هستند.<sup>[۳-۴]</sup> عمدی مطالعات موجود در ادبیات فنی با محوریت تأخیر برشی پیرامون تیرهای با مقاطع جعبه‌یی،<sup>[۵]</sup> مقطع پل‌ها<sup>[۶]</sup> و نیز دیوارهای برشی<sup>[۷]</sup> نویسنده مسئول\*

\* تاریخ: دریافت ۲۵/۱/۵، اصلاحیه ۲۹/۱/۶، پذیرش ۱۴۰/۱/۷، ۲۰۲۲.

DOI:10.24200/J30.2022.60850.3125

و جایه‌جایی محوری حاصل، روابطی کاربردی به منظور تخمین عرض مؤثر مقاطع L- شکل پیشنهاد شده است. اهداف پژوهش حاضر را می‌توان در قالب این موارد به طور خلاصه مطرح کرد:

- مدل سازی عددی دیوارهای برشی بتی L- شکل با بال نابرابر؛
  - انجام مطالعات پارامتریک؛
  - ارائه روابط کاربردی با استفاده از روش رگرسیون چندجمله‌ی تکاملی (EPR) <sup>۱۰</sup> برای تخمین دقیق عرض مؤثر در دیوارهای برشی بتی L- شکل؛
  - مقایسه روابط پیشنهادی با ضوابط توصیه شده توسط آینه‌های بین‌المللی.
- گفته‌ی است که راهبرد اخیر را می‌توان برای انواع مقاطع بالدار بالاخص مقاطع پرکاربردی چون مقاطع T- شکل، U- شکل و نیز مقاطع صلبی‌بی پیاده‌سازی کرد.

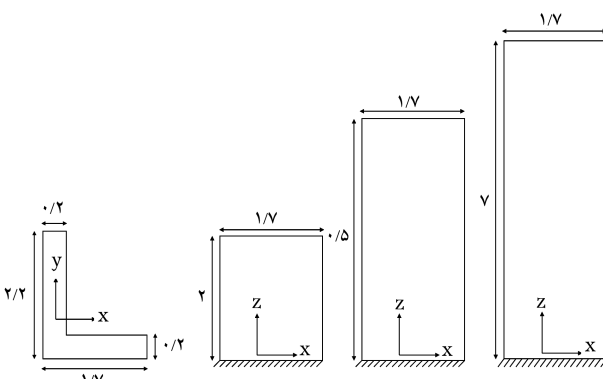
## ۲. مدل سازی دیوارهای L- شکل

### ۱۲. مدل سازی اجزاء محدود

با توجه به این مهم که مدل سازی با استفاده از روش اجزاء محدود در بررسی عملکرد مقاطع غیرمستطیلی و نیز بررسی پدیده‌ی تأخیر برشی، <sup>[۱۷-۲۵]</sup> دقت قابل قبولی دارد؛ لذا در بخش کنونی، دیوارهای برشی بتی با مقاطع L- شکل در برنامه FlashLab ساخته شده و سپس تحلیل عددی آنها در چارچوب نرم‌افزار اجراء محدود آبکوس انجام شده است. در این راستا، ابتدا ۴۲ دیوار برشی با هندسه‌ی نمایش داده شده در شکل ۱، طراحی و سپس با رگذاری چرخه‌ی مطابق شکل ۲ به دیوارها اعمال شده است. لازم به ذکر است که انتخاب ابعاد دیوارها به گونه‌یی صورت گرفته است که: اولاً نمونه‌های شبیه‌سازی شده در بردارنده‌ی انواع دیوارهای کوتاه، با رفتار ترکیبی و لاغر باشند و ثانیاً، ابعاد انتخابی، قربت قابل قبولی با دیوارهای L- شکل اجرا شده در سازه‌های گوناگون داشته باشند.

خلاصه‌ی مدل‌های رفتاری استفاده شده جهت مدل سازی مصالح فولادی و بتی دیوارهای L- شکل در جدول ۱ ارائه شده است. در فرایند مدل سازی عددی، رفتار مصالح فولادی در فشار و کشش متقارن در نظر گرفته شده است.

با توجه به کارایی مطلوب مدل رفتاری بتی آسیب‌دیده‌ی خمیری (CDP) <sup>۱۱</sup> در بارگذاری چرخه‌یی وارده به المان‌های سازه‌ی بتی، از مدل رفتاری ذکر شده استفاده و پارامترهای آن در جدول ۲ ارائه شده است.



۱. مشخصات هندسی دیوارهای L- شکل مدل سازی شده در نرم‌افزار اجزاء محدود (ابعاد بر حسب متر هستند).

شی و زنگ <sup>۱۶</sup> <sup>[۱۸]</sup> با استفاده از اصل کمینه‌ی ارزی پتانسیل توانستند بر مبنای تغییرشکل اعوجاجی مرتبه‌ی سوم برای تأخیر برشی، عرض مؤثر دیوار با مقاطع T- شکل را در حالت کشسان و براساس رابطه‌ی ارزیابی کنند:

$$b_{eff} = \frac{\int_{-b}^b \sigma_x dy}{\sigma_{max}} \quad (1)$$

که در آن،  $\sigma_x$  تنش محوری در بال مقاطع و  $\sigma_{max}$  بیشینه‌ی مقدار آن است. همچنین، در مطالعه‌ی اخیر به این موضوع اشاره شده است که در طی فرایند بارگذاری، ابتدا مقدار عرض مؤثر بال مقاطع ثابت است و پس از ترک خودگی در مقاطع تا وقوع تسیلم شدگی، مقدار آن به صورت موضعی کاهش می‌یابد. سپس با افزایش بار و با توزیع تنش‌ها، عرض مؤثر افزایش می‌یابد و پس از رسیدن به مقدار بیشینه با شبیه‌سازی از مقدار آن کاسته می‌شود.

زنگ و لی <sup>۱۷</sup> <sup>[۱۹]</sup> با ارزیابی تأثیر تأخیر برشی در عملکرد دیوارهای برشی بالدار ترک خورده، به اثر فرایندی افزایش ضخامت بال مقاطع و بار محوری وارده به سازه در شدت وقوع تأخیر برشی و نیز اثر کاهنده‌ی جایه‌جایی تراز فوقانی و طول دیوار اشاره کردند و دریافتند که صرف نظر گرفتن از تأخیر برشی، می‌تواند تأثیر قابل ملاحظه‌ی در مقادیر نیروی کشسانی و لینگر خمی‌وارده به پای دیوار داشته باشد.

همچنین، آثار تأخیر برشی در مقادیر توزیع تغییرشکل و تنش محوری در دیوارهای برشی بتی با مقاطع T- شکل توسط لیو <sup>۱۰</sup> و همکاران <sup>[۲۰]</sup> بررسی شده است. نی و کائو <sup>۱۸</sup> <sup>[۲۰]</sup> با در نظر گرفتن تأخیر برشی در عملکرد تیرها و دیوارهای برشی بتی با مقاطع I- شکل، عرض مؤثر این مقاطع را براساس تغییرشکل اعوجاجی تابع درجه‌ی دوم تخمین زدند. هالت <sup>۱۹</sup> <sup>[۲۰]</sup> نیز توزیع تنش و کرنش محوری دیوارهای برشی بتی U- شکل (C- شکل) را براساس مدل‌های عددی شبیه‌سازی شده در نرم‌افزار VecTor <sup>۳</sup> ارزیابی و سپس ضایعه‌یی جهت تخمین عرض مؤثر در دیوارهای مذکور پیشنهاد کرد، که دقت مطلوبی داشت. در سال ۲۰۲۰ و در پژوهشی جامع، لو و لی <sup>۹</sup> <sup>[۲۲]</sup> روابطی کاربردی و با دقت قابل قبول برای برآورد عرض مؤثر در دیوارهای برشی با مقاطع T- شکل ارائه کردند.

حالو و همکاران <sup>۲۱</sup> <sup>[۲۳]</sup> با بررسی توابع چندجمله‌یی با درجه‌های مختلف برای تغییرشکل اعوجاجی تأخیر برشی در یک مقاطع I- شکل با بال‌های نامتقارن، چندجمله‌یی مرتبه‌ی دوم را به عنوان مناسب‌ترین توزیع برای تغییرشکل اعوجاجی متأثر از تأخیر برشی معرفی کردند. براساس نتایج پژوهش دیگری از حالو و همکاران <sup>۲۲</sup> <sup>[۲۴]</sup> اثر ضریب پواسون بت، ضخامت بال و ارتفاع مقاطع در محاسبات مربوط به عرض مؤثر در دیوارهای برشی بالدار، ناچیز و تأثیر بار محوری و بارهای جانبی وارده به سازه قابل توجه بوده است. همچنین ایشان در پژوهش دیگری در سال ۲۰۲۲ <sup>[۲۵]</sup> با توسعه‌ی برنامه‌ی FlashLab، مطالعات عددی گستردگی با محربیت بررسی تأثیر پدیده‌ی تأخیر برشی در عملکرد دیوارهای برشی بتی بالدار را ارائه کردند. زنگ و همکاران <sup>۲۱</sup> <sup>[۲۶]</sup> نیز روابطی نیمه‌تجربی را پیشنهاد دادند، که در آن مشارکت بال فشاری دیوارهای برشی بالدار در سطوح مختلفی از بارگذاری جانبی چرخه‌یی مدنظر قرار گرفته است. همچنین، تابع مطالعه‌ی ایشان نشان داد که توزیع غیرخطی کرنش‌های محوری فشاری، مربوط به در نظر گرفتن آثار تأخیر برشی و تسیلم شدگی آرماتورهای طولی است.

لذا در پژوهش حاضر، رفتار دیوارهای برشی بتی L- شکل تحت بارگذاری چرخه‌یی و با در نظر گرفتن آثار ناشی از پدیده‌ی تأخیر برشی ارزیابی شده است. سپس با انجام مطالعات پارامتری بر روی مدل‌های عددی و براساس توزیع کرنش

جدول ۱. مدل‌های رفتاری مصالح در فرایند مدل‌سازی عددی.

نوع مصالح	مدل رفتاری	مرجع
آرماتورهای طولی	سه خطی	[۲۸]
آرماتورهای عرضی	سه خطی	[۲۸]
بن فشاری	کنت و پارک	[۲۹] و [۳۰]
بن کششی	دوخطی	[۳۰]

جدول ۲. پارامترهای مدل رفتاری بنن آسیب‌دهی خمیری.

زاویه‌ی اتساع	خروج از مرکزیت سطح پتانسیل خمیری	نسبت تنش تسلیم	شکل سطح تسلیم	پارامتر ویسکوخمیری
۳۰/۵۰	۰/۱	۱/۱۶	۰/۶۶۷	۰/۰۰۱

روش‌های رگرسیون عددی مرسوم و الگوریتم ژنتیک حاصل می‌شود و مبتنی بر شبه چندجمله‌ای‌هایی است که یک سیستم فیزیکی واقعی را توصیف می‌کنند.<sup>[۲۱]</sup> یک سیستم با خروجی  $y$ ، که وابسته به مجموعه‌ی از متغیرهای ورودی  $\mathbf{X}$  و پارامتر  $\theta$  باشد، می‌تواند به صورت رابطه‌ی ۲ تعریف شود:<sup>[۲۲]</sup>

$$y = F(\mathbf{X}, \theta) \quad (2)$$

که در آن،  $F$  یک تابع در فضای  $m$ -بعدی و  $m$  تعداد متغیرهای مستقل ورودی است، در ابتدا، از یک روش تکاملی مبتنی بر الگوریتم ژنتیک برای جستجوی ساختارهای مدل مناسب استفاده شده است، سپس از یک مرحله‌ی رگرسیون خطی عبور شده است تا ثابت‌های مدل بر اساس تابع مجموع مربعات خطای بهینه و محاسبه شوند. رابطه‌ی ۳، فرمول‌بندی روش مذکور را در حالت کلی نشان می‌دهد:

$$y = \sum_{i=1}^m F(X, f(X), a_i) + a_0 \quad (3)$$

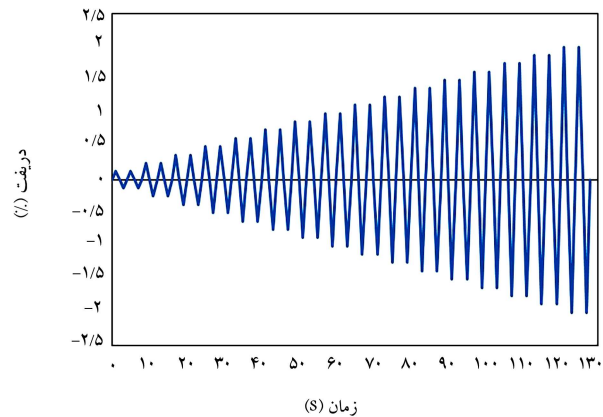
که در آن،  $y$  بردار تخمین متغیر وابسته در فرایند رگرسیون‌گیری،  $F$  تابع حاصل از فرایند بهینه‌سازی،  $f$  تابع تعریف شده توسط کاربر،  $\mathbf{X}$  ماتریس متغیرهای مستقل،  $a_i$  ضرایب ثابت و  $a_0$  ضریب ثابت هستند. اولین گام در تشخیص ساختار مدل، تبدیل رابطه‌ی ۳ به رابطه‌ی برداری ۴ است:

$$\begin{aligned} \mathbf{Y}_{N \times 1}(\theta, Z) &= [\mathbf{I}_{N \times 1} \quad \mathbf{I}_{N \times m}^T] [a_0 \quad a_1 \quad \dots \quad a_m]^T \\ &= \mathbf{Z}_{N \times d} \theta_{d \times 1}^T \end{aligned} \quad (4)$$

که در آن،  $(\theta, Z)$  بردار تخمین کمینه‌ی مربعات با  $N$  مقدار هدف،  $\mathbf{Y}_{N \times 1}$  برداری مشتشکل از  $d=m+1$  پارامتر  $a_i$  و  $\theta^T$  بردار توانهاده و  $Z_{N \times d}$  بردار از متغیرهای  $Z^j$  هستند. همچنین، لازم به ذکر است که تابع بهینه‌سازی در فرایند رگرسیون‌گیری بر مبنای کمینه‌سازی مجموع مربعات خطای مقید شده است، و مطابق رابطه‌ی ۵ محاسبه می‌شود:

$$SSE = \frac{\sum_{i=1}^N (y_a - y_p)^2}{N} \quad (5)$$

که در آن،  $y_a$  مقدار هدف و  $y_p$  برآورد مدل است. جستجو برای دست یابی به بهترین شکل از توابع چندجمله‌ای بر اساس الگوریتم ژنتیک انجام می‌شود و فرایند رگرسیون‌گیری هنگامی خاتمه می‌یابد که تعداد بیشینه‌ی داده‌های تولیدی، بیشینه‌ی تعداد جملات در تابع ریاضی هدف و یا یک مقدار مشخص از خطای حاصل شود.



شکل ۲. بارگذاری چرخه‌یی واردہ به دیوارهای برشی L-شکل.

جدول ۳. مشخصات مصالح فولادی.

قطر آرماتور	تنش نهایی (میلی متر)	مدول کشسانی (گیگاباسکال)	تنش تسلیم (مگاباسکال)	تنش کششی (مگاباسکال)
۲۱۰	۴۰۰	۳۰۰	۱۴	۱۲
۲۱۰	۶۰۰	۴۰۰	۲۰	۲۰

جدول ۴. مشخصات مصالح بتنی.

نوع بتن	مقاومت مشخصه (مگاباسکال)	مدول کشسانی (گیگاباسکال)	تنش کششی (مگاباسکال)
۲۶	۳	۳۰	۰.۳۰

مشخصات مکانیکی مصالح فولادی و بتنی به ترتیب در جدول‌های ۳ و ۴ ارائه شده است. همچنین، ضرایب بواسون بتن و فولاد به ترتیب  $0/15$  و  $0/30$  و  $0/40$  میلی‌متر بوده است. پوشش بتن و طول ناحیه‌ی محصور به ترتیب  $40$  و  $40$  میلی‌متر بوده است. لازم به ذکر است که شرح کامل راستی آزمایی شبه‌سازی عددی برنامه‌ی FlashLab برای مقاطع L-شکل بر اساس مطالعات آزمایشگاهی جیاکسینگ<sup>[۱۲]</sup> و در نوشتار خالو و همکاران (۲۰۲۲)،<sup>[۲۱]</sup> ارائه شده است.

### ۳. رگرسیون چندجمله‌ای تکاملی (EPR)

روش رگرسیون چندجمله‌ای تکاملی (EPR)، یک روش ترکیبی است که از ادغام

صورت ضریب تمرکزش [۳۵، ۳۶] و یا ضریب کاهش در عرض مؤثر مقطع، [۳۷، ۳۸] لحاظ می‌شود. از میان دو ضریب مطروخه، ضریب کاهشی که در محاسبه‌ی عرض مؤثر بال منظور می‌شود، کاربردی‌تر است، که در مراجع مختلف به این موضوع اشاره شده است. [۳۸]

به منظور تسهیل درازیابی عملکرد دیوارهای L- شکل، مفهوم عرض مؤثر [۱۲] مطرح شده است، که در آن، بخشی از بال یا جان مقطع در عرض نتشی باشد تثابت قرار دارد و آرماتورهای طولی ناحیه‌ی اخیر جهت مقابله با لنگر خشی وارد به مقطع مشارکت دارند. [۱۱]

ری [۱۴] عرض مؤثر مقطع را عمود بر جهت بارگذاری اعمال شده در نظر گرفته است، که مقدار آن بر مبنای توزیع کرنش و با استفاده از معادله ۷ محاسبه می‌شود:

$$b_{eff} = \frac{\sum_{i=1}^n \varepsilon_i w_i}{\varepsilon_{max}} \quad (7)$$

که در آن،  $\varepsilon_i$  کرنش محوری المان فشاری در بتن،  $w_i$  عرض المان و  $\varepsilon_{max}$  بیشینه‌ی کرنش المان فشاری در طول مقطع دیوار هستند.

در این بین، آین نامه‌های مختلف، مقادیر متفاوتی را به عنوان تخمینی از عرض مؤثر دیوار مطرح کرده‌اند. به عنوان مثال، آین نامه‌ی ACI-۳۱۸، [۱۰] یک چهارم ارتفاع دیوار را تخمینی از عرض مؤثر دیوار پیشنهاد داده و آین نامه‌ی بتن ایران (آب). [۱۱] نیز همین مقدار را جهت محاسبه‌ی عرض مؤثر مقطع بالدار توصیه کرده است. در برخی از پژوهش‌ها به ناکارآمدی مقدار اخیر در تخمین عرض مؤثر اشاره شده است، که متأثر از موقع تأثیر برشی است. [۱۱، ۱۷، ۲۱] این موضوع برای مقادیر پیشنهادی سایر آین نامه‌های طراحی نیز صادق است. از همین رو، در طی سال‌ها، مطالعات و پژوهش‌های گسترشده‌ی به منظور ارزیابی دقیق‌تر و ساده‌تر آثار تأثیر برشی و تعیین عرض مؤثر در دیوارهای با مقطع غیرمستطیلی انجام شده است.

از سوی دیگر، آین نامه‌ی CEN [۱۵] برای دیوارهای غیرمستطیلی که از به هم پیوستن چند دیوار مستطیلی به وجود آمده‌اند، کمترین مقدار از بین: (الف) طول بال مقطع، (ب) نصف فاصله میان دو جان مجاور و (ج) یک‌چهارم ارتفاع دیوار را به عنوان عرض مؤثر در نظر گرفته است. [۲۳] در حالی که در آین نامه‌ی UBC [۱۶، ۲۴] عرض مؤثر تا بیشینه‌ی ۱۰٪ ارتفاع دیوار لحاظ شده است. همچنین بعض‌اً در فرایند طراحی، از عرض مؤثر پیشنهاد شده برای تیرها در آین نامه‌ی BS [۱۷، ۲۵] جهت محاسبه‌ی عرض مؤثر در دیوارها استفاده می‌شود، که جزئیات مربوط به آن در شکل ۴ مشاهده می‌شود.

در این ضابطه، نخست ضریب بی‌بعدی به نام  $\psi$  مطابق جدول ۵، بر مبنای مقدار  $b/H$  تعریف شده است، که در آن، H ارتفاع مقطع است و سپس از حاصل ضرب مقدار  $\psi$  در طول بال، عرض مؤثر مقطع برآورد می‌شود. [۲۵، ۳۹]

جدول ۵. مقادیر ضریب عرض مؤثر در آین نامه‌ی BS. [۴۵]

$\psi$	$b/H$
۱	۰
۰/۸۲	۰/۰۵
۰/۶۸	۰/۱
۰/۵۲	۰/۲
۰/۳۵	۰/۴

در فرایند ساخت مدل‌های مبتنی بر چندجمله‌ی‌های تکاملی، تعدادی قید جهت کنترل مدل‌های خروجی مدنظر قرار می‌گیرد. در این فرایند، این امکان وجود دارد که مدل‌های متفاوتی حاصل شود که در سناریوهای مختلف می‌توانند اطلاعات متمایزی به همراه داشته باشند. براساس رگرسیون‌گیری به روش تکاملی، فرایند با یک مقدار میانگین ثابت از مقادیر خروجی آغاز می‌شود. با افزایش تکامل در هر چرخه، به تدریج پارامترهای بیشتری جهت دست‌یابی به رابطه‌ی بین متغیرهای مستقل مشارکت خواهند داشت. در شکل ۳، الگوریتم روش EPR مشاهده می‌شود.

میران دقت در هر مرحله از فرایند اخیر براساس ضریب R تعیین می‌شود:

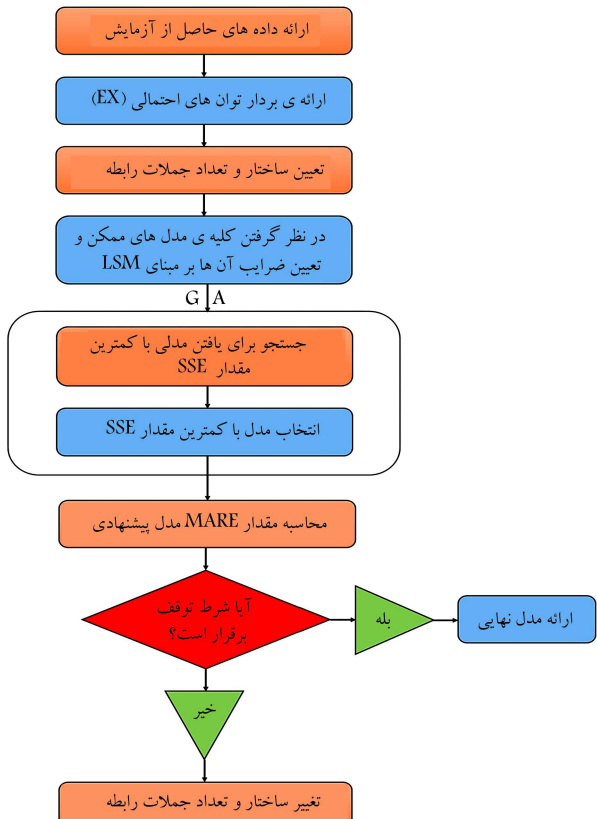
$$R = \sqrt{1 - \frac{\sum_{i=1}^N (y_a - y_p)^2}{\sum_{i=1}^N (y_a - \bar{y}_a)^2}} \quad (8)$$

که در آن،  $y_a$  میانگین مقادیر هدف و N تعداد داده‌های است که بر مبنای آن، محاسبه‌ی ضریب R انجام می‌شود. اگر برازش مدل، قابل قبول نباشد و یا با معیارهای پذیرش انطباق نداشته باشد، مدل موجود تکامل می‌باید تا مدل جدید حاصل شود.

#### ۴. تخمین عرض مؤثر در دیوارهای L- شکل

##### ۱.۴. ضوابط آین نامه‌ها در تخمین عرض مؤثر

همان‌طور که در بخش‌های پیشین اشاره شد، تأخیر برشی می‌تواند منجر به کاهش سختی و افزایش نتشی و کرنش در مقطع المان سازی‌ی شود، که معمولاً تأثیر آن به



شکل ۳. الگوریتم روش رگرسیون چندجمله‌ی تکاملی EPR. [۳۳]

جدول ۶. تعیین رابطه‌ی رگرسیونی پارامتر بی بعد  $\lambda$  جهت محاسبه‌ی عرض مؤثر در دیوارهای L-شکل.

R	روابط متناظر جهت محاسبه پارامتر بی بعد $\lambda$	شماره رابطه	نمایش هندسی مقطع	نوع دیوار
۰,۸۷	$0,29965 + 2,7937\Pi_1 - 381,88\Pi_1\Pi_2 + 12968\Pi_2\Pi_3$	(۹)		کوتاه
۰,۸۹	$-0,24884 + 45,089\Pi_1 + 2,0633\Pi_2 - 643,64\Pi_1\Pi_2$	(۱۰)		رفتار ترکیبی
۰,۸۵	$-0,19181 + 3,6716\Pi_1 + 20,618\Pi_2 - 123,48\Pi_1\Pi_2$	(۱۱)		لاگر
۰,۹۱	$-0,20221 + 2,539\Pi_1 + 5,6307\Pi_2 - 199,34\Pi_1\Pi_2$	(۱۲)		کوتاه
۰,۸۵	$-0,076652 + 5,7439\Pi_1 + 92,828\Pi_2 - 769,74\Pi_1\Pi_2$	(۱۳)		رفتار ترکیبی
۰,۹۱	$-0,11731 + 4,8765\Pi_1 + 60,812\Pi_2 - 772,44\Pi_1\Pi_2$	(۱۴)		لاگر

## ۲.۴. ارائه‌ی روابط پیشنهادی در تخمین عرض مؤثر

در بخش حاضر با استفاده از رگرسیون‌گیری به روش EPR، پس از تعیین توزیع کرنش‌های محوری حاصل از شیوه‌سازی عددی، ۴۲ نمونه دیوار برشی بتی با مقطع L-شکل و با بالهای نابرابر، روابطی کاربردی به منظور برآورد عرض مؤثر در بال و جان مقاطع L-شکل ارائه و در بخش آتی با مقدار پیشنهادی توسط آین‌نامه‌های معتبر بین‌المللی مقایسه شده‌اند. در ادامه، روابط جداگانه‌ی برای عرض مؤثر دیوارهای کوتاه، با رفتار ترکیبی و لاگر به تفکیک پیشنهاد شده است. با توجه به مطالعه‌ی تحلیلی انجام گرفته پیرامون مقدار عرض مؤثر مقطع، پارامتر بی بعد  $\lambda$  به منظور ارائه‌ی روابطی جهت محاسبه‌ی عرض مؤثر معرفی شده است.

همچنین، با توجه به نتایج مطالعات خالو و همکاران [۲۰ ۲۱]،<sup>[۲۱]</sup> که مقدار بار محوری وارد و جایه‌جایی جانبه‌ی نسبی سازه را به عنوان پارامترهای مهم در رفتار دیوارهای برشی بالدار مطرح کرده‌اند، کمیت‌های اخیر به عنوان پارامتر بی بعد در روابط رگرسیونی پیشنهادی استفاده می‌شوند رابطه‌ی:

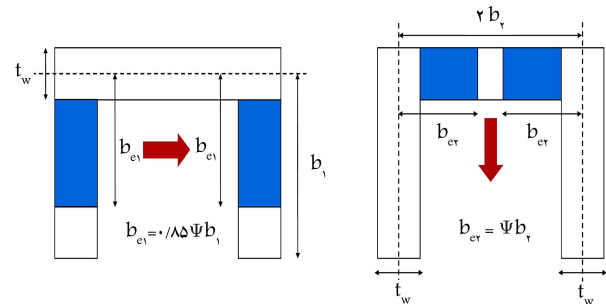
$$\Pi_1 = ALR = \frac{N}{f'_{c} A_g} \quad ; \quad \Pi_2 = Drift = U_L/H \quad (۸)$$

جهت سنجش دقت یک مدل رگرسیونی دو رویکرد وجود دارد: رویکرد اول، استفاده از داده‌های به کار رفته در فرایند ساخت مدل جهت بررسی دقت روابط حاصل است؛ و رویکرد دوم، استفاده از داده‌هایی کاملاً مجزا از داده‌های به کار رفته در مدل به منظور برآورد دقت مدل به دست آمده است. اکنون در جهت ارزیابی کارایی روابط فوق برای عرض مؤثر دیوارهای با مقطع L-شکل، از طریق رویکرد اول، در جدول ۶، مقدار پیشنهادی (R) برای هر یک از روابط پیشنهادی برای دیوارهای کوتاه، با رفتار ترکیبی و لاگر ارائه شده‌اند. قابل ذکر است که برای روابط متناظر با عرض مؤثر مقطع، توان پیشنهادی و بیشترین مقدار تعداد جملات به ترتیب مقدادر ۲ و ۴ لحاظ شده است.

## ۵. شرح و تفسیر نتایج

### ۵.۱. مقایسه‌ی روابط پیشنهادی با ضوابط آین‌نامه‌ها

به منظور مقایسه‌ی بهتر مقدار عرض مؤثر حاصل شده از طریق روابط پیشنهادی با ضوابط آین‌نامه‌ی در شکل‌های ۵ و ۶، نمودارهای تغییرات عرض مؤثر به ازاء

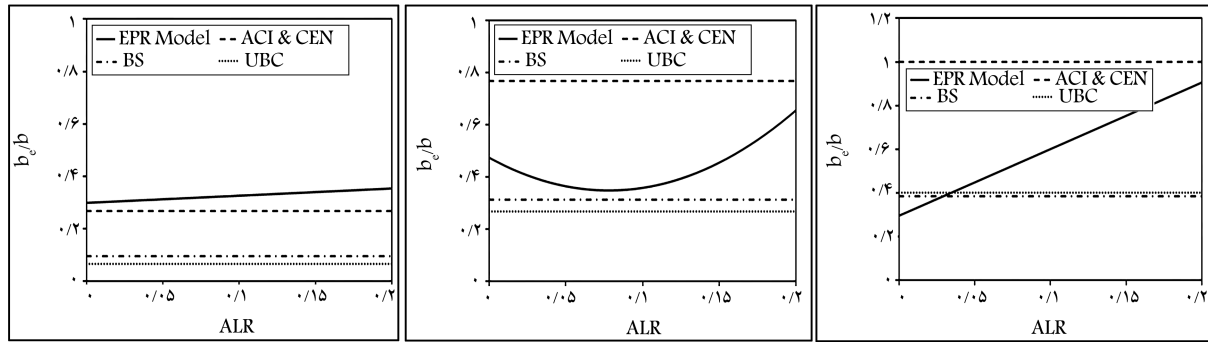


شکل ۴. محاسبه‌ی عرض مؤثر بال و جان در آین‌نامه‌ی BS.<sup>[۴۵]</sup>

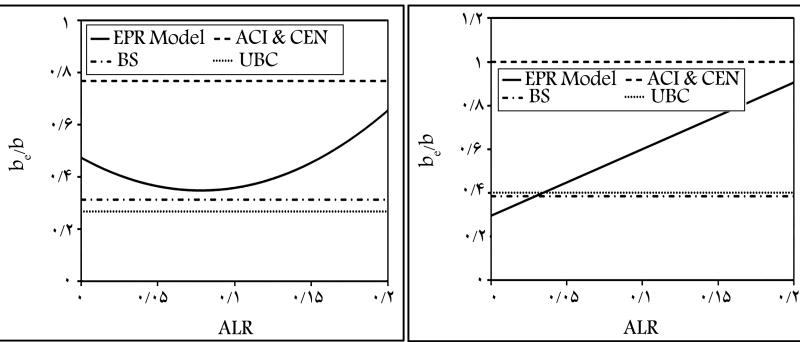
لازم به ذکر است که ضوابط پیشنهادی جدول ۵ برای تیرهای طرهی تحت بار گستردگی یکنواخت بوده و اثر بار محوری در آن لحاظ نشده است، که این موضوع می‌تواند دقت ضوابط پیشنهادی برای محاسبه‌ی عرض مؤثر دیوارهای برشی را تحت الشعاع قرار دهد.

همان‌طور که اشاره شد، بیشتر روابط پیشنهاد شده جهت تخمین عرض مؤثر در مقاطع غیرمستطیلی، ارتفاع دیوار را به عنوان پارامتر تعیین‌کننده معرفی کرده‌اند. در حالی که بر اساس مطالعات خالو و همکاران [۲۰ ۲۱]<sup>[۲۲]</sup> دو پارامتر نسبت بار محوری (ALR)<sup>[۱۸]</sup> و تغییرمکان جانبه‌ی نسبی<sup>[۱۹]</sup> به عنوان کمیت‌های تعیین‌کننده در مقدار عرض مؤثر مقاطع بالدار مطرح هستند. در نظر نگرفتن پارامترهای تأثیرگذار و کافی در روابط مذکور، سبب بروز ابهاماتی می‌شود. به عنوان مثال، نتایج تحقیقات مختلف نشان می‌دهند که رابطه‌ی پیشنهادی در آین‌نامه‌ی UBC، مقدار بسیار اندکی را برای عرض مؤثر مقطع در نظر گرفته است و طراحی بر مبنای آن غیراقتصادی خواهد بود. در مقابل، روابط آین‌نامه‌های ACI-۳۱۸ و CEN نیز در مواردی عرض مؤثر مقطع را بیشتر از آنچه هست، ارائه می‌دهند و استفاده از ضوابط مذکور در طراحی، غیرمحافظه‌کارانه خواهد بود.

با توجه به مطالعات عنوان شده، می‌توان نتیجه گرفت که کارایی رابطه‌ی ارائه شده برای عرض مؤثر بر مبنای آین‌نامه‌ی BS، با توجه به لحاظ کردن دو پارامتر اساسی طول بال و ارتفاع دیوار، در قیاس با روابط دیگر عملکرد بهتری دارد. همچنین روابطی که در سال‌های اخیر به عنوان جایگزین برای تعیین عرض مؤثر ارائه شده‌اند، بعض‌اً فرم کلی ضابطه‌ی اخیر را الگو قرار داده و روابطی را مشابه آن پیشنهاد کرده‌اند.<sup>[۲۱]</sup>

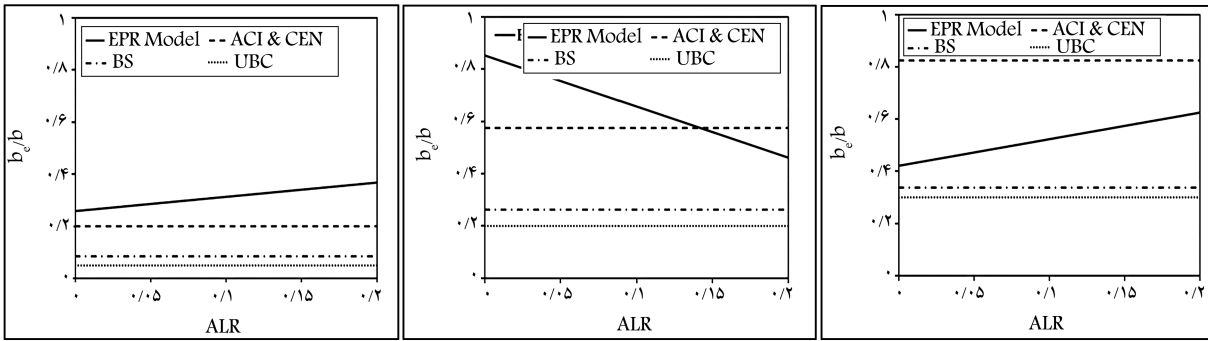


ج) بال کوچک دیوار کوتاه L - شکل در تغییر مکان جانبی نسبی ۱ درصد؛

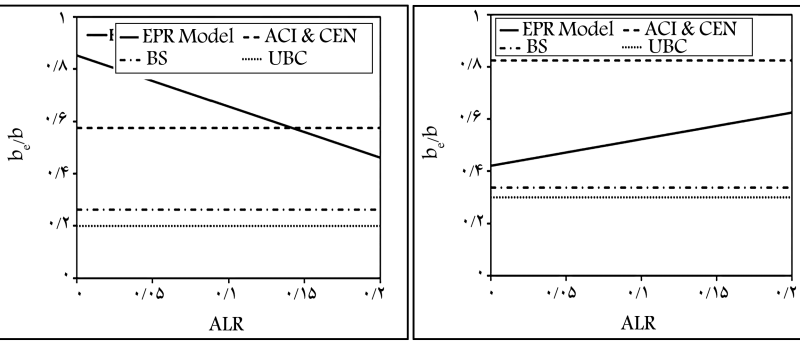


ب) بال کوچک دیوار ترکیبی L - شکل در تغییر مکان جانبی نسبی ۵ درصد؛

الف) بال کوچک دیوار لاغر L - شکل در تغییر مکان جانبی نسبی ۵ درصد؛



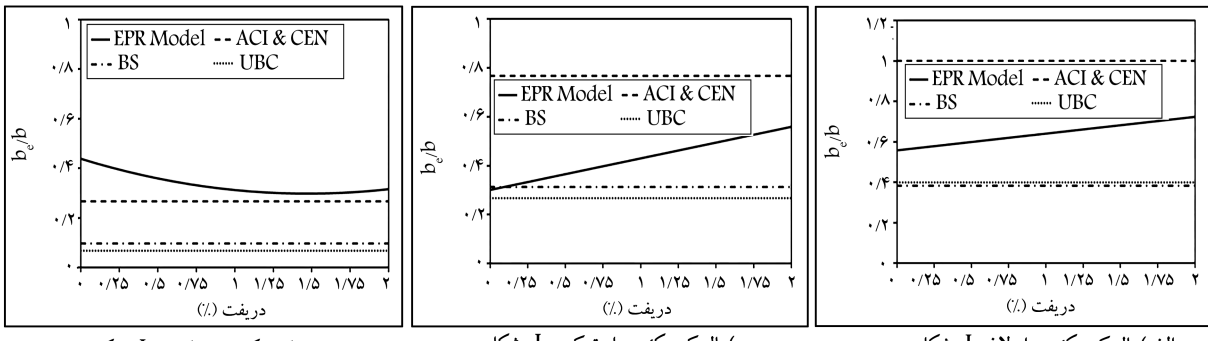
و) بال بزرگ دیوار کوتاه L - شکل در تغییر مکان جانبی نسبی ۱ درصد.



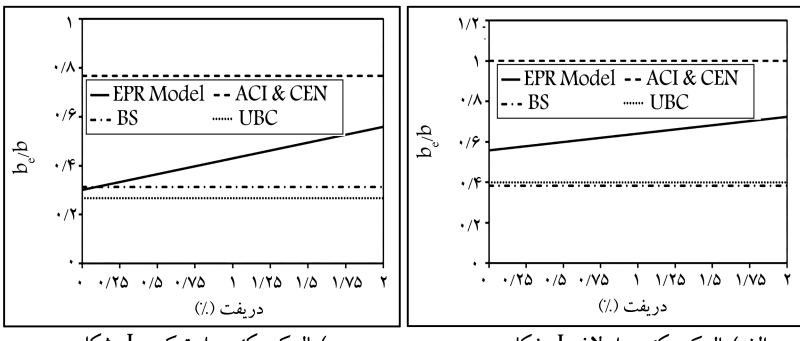
ه) بال بزرگ دیوار ترکیبی L - شکل در تغییر مکان جانبی نسبی ۱ درصد؛

د) بال بزرگ دیوار لاغر L - شکل در تغییر مکان جانبی نسبی ۵ درصد؛

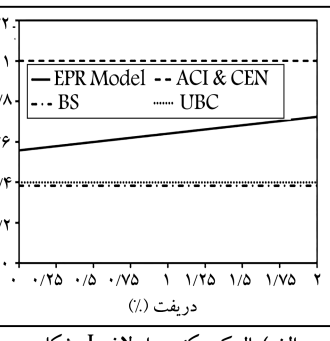
شکل ۵. تغییرات عرض مؤثر در دیوارهای با مقاطع L- شکل با تغییرات نسبت بار محوری (ALR).



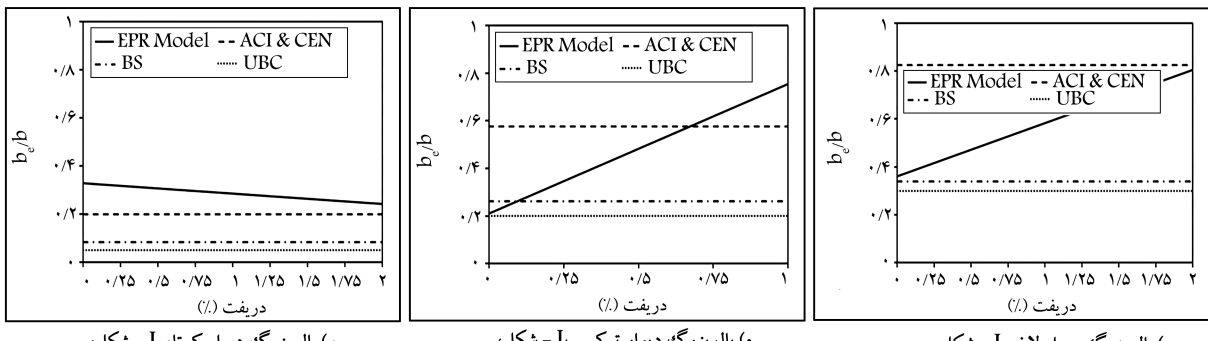
ج) بال کوچک دیوار کوتاه L - شکل، نسبت بار محوری ۰/۰۵ درصد؛



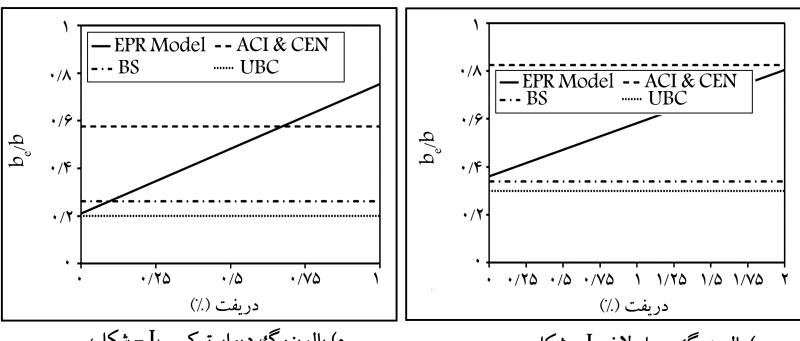
ب) بال کوچک دیوار ترکیبی L - شکل، نسبت بار محوری ۰/۰۵ درصد؛



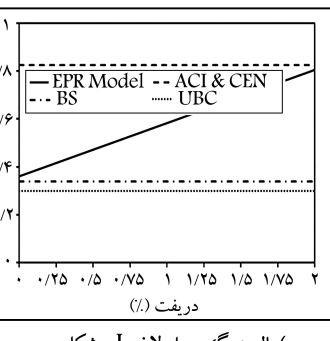
الف) بال کوچک دیوار لاغر L - شکل، نسبت بار محوری ۰/۱۰ درصد؛



و) بال بزرگ دیوار کوتاه L - شکل، نسبت بار محوری ۰/۰۵ درصد.



ه) بال بزرگ دیوار ترکیبی L - شکل، نسبت بار محوری ۰/۰۵ درصد؛



د) بال بزرگ دیوار لاغر L - شکل، نسبت بار محوری ۰/۱۰ درصد؛

شکل ۶. تغییرات عرض مؤثر در دیوارهای با مقاطع L- شکل با تغییرات درصد تغییر مکان جانبی سازه (Drift).

کمتر از مقادیر حقیقی آن است، که منجر به طراحی غیراقتصادی می‌شود. در این بین همان طور که پیش تر نیز اشاره شد، ضوابط آیین نامه BS، مقادیر منطقی تری از عرض مؤثر را ارائه می‌دهد.

۶۔ نتیجہ گیری

در مطالعه‌ی حاضر، روابطی کاربردی و مهندسی جهت ارزیابی عرض مؤثر در دیوارهای برشی بتقیی با مقطع L- شکل پیشنهاد شده است که مبتنی بر روش رگرسیون‌گیری چندجمله‌ی تکاملی (EPR) است. ابتدا، ۴۲ دیوار برشی بتقیی L- شکل با بالهای نابرابر به عنوان نماینده‌ی از دیوارهای با عملکرد برشی، برشی - خمشی و خمشی در برنامه‌ی FlashLab ساخته و سپس مطالعات عددی آنها در نرم افزار آباکوس انجام شده است. نتایج مدل‌سازی عددی در قالب تعیین توزیع جایه‌جایی و کرنش محوری تحت بارگذاری چرخه‌یی واردہ به دیوارها بوده است، که در آن اثاث پدیده‌ی تأخیر برشی لحاظ شده است. با استفاده از روش رگرسیون‌گیری EPR و با تعریف پارامتر بی بعد λ، روابطی جهت تخمین عرض مؤثر در دیوارهای L- شکل ارائه و سنجش کارایی آنها بر اساس محاسبه‌ی ضریب تعیین R صورت گرفته است. همان‌طور که ملاحظه می‌شود مقدار آن در بازه‌ی ۸۵/۰ تا ۹۱/۰ قرار دارد، که گواه بر دقت نتایج به دست آمده است. در انتهای و به ازاء سطح مختلف از نسبت بار محوری واردہ و نیز درصد جایه‌جایی جانی نسبی، مقادیر عرض مؤثر پیشنهادی از روابط رگرسیونی، با مقادیر حاصل از آینین نامه‌های بین‌المللی معتبر مقایسه شده است. برخلاف خواص روابط پیشنهادی متاثر از نسبت بار محوری واردہ به دیوار و مؤثر توصیه می‌کنند، روابط پیشنهادی دقتی‌تری از عرض مؤثر را نیز درصد جایه‌جایی جانی نسبی آن است و ارزیابی دقیق‌تری از عرض مؤثر را در دیوارهای برشی بتقیی L- شکل به همراه خواهد داشت. گفتنی است به منظور مقایسه‌ی دقت روابط مطرح شده، خطای ناشی از برآورد عرض مؤثر برای مجموعه‌ی شامل ۲۰٪ از داده‌ها، که در تهیه‌ی روابط ارائه شده به کار رفته بودند، تعیین و نسبت مقادیر آن محاسبه شده است، که به خوبی دقت مطلوب روابط پیشنهادی و نیز رابطه‌ی آینین نامه‌ی BS را در تعیین عرض مؤثر در قیاس با سایر خواص موجود مشخص کرد است.

لازم به ذکر است که علی‌رغم کمتر بودن دقت ضوابط آئین‌نامه‌ها در برآوردهای موقت مقطع I- شکل، با توجه به سهولت در به کارگیری آنها، توصیه می‌شود که در مراحل اولیه‌ی طراحی و به منظور دست‌یابی به برآوردهای از ابعاد، از روابط پیشنهاد شده در آئین‌نامه‌های معتبر طراحی سازه‌های بتُنی استفاده شود و سپس در مراحل بعدی، جهت تحلیل دقیق‌تر سازه‌ی دیوار به کمک برنامه‌های رایانه‌یی، روابط اولیه شده در مطالعه‌ی حاضر به کار گفته شود.

جدول ۷. نسبت میانگین خطای نسبی روابط پیشنهادی به میانگین خطای نسبی، ضوابط مطرح شده در آیینه‌نامه‌ها.

[۴۵] BS	[۴۶] UBC	[۴۷] CEN	[۴۸] ACI	شماره رابطه
۰۹	۰/۸۷	۱/۰۶	۱/۰۶	(۹)
۰/۷۲	۰/۰۹	۰/۸۲	۰/۸۲	(۱۰)
۰/۶۰	۰/۰۹	۱/۹۴	۱/۹۴	(۱۱)
۰/۰۴	۰/۷۰	۲/۴۳	۲/۴۳	(۱۲)
۰/۷۸	۱/۹۶	۰/۸۰	۰/۸۰	(۱۳)
۱/۰۵	۰/۹۳	۰/۲۷	۰/۲۷	(۱۴)

افزایش بار محوری و تغییر مکان جانبی نسبی ترسیم و نمایش داده شده‌اند. همان طور که در بخش قبل اشاره شد، روابط پیشنهادی آئین‌نامه‌ها، ضوابطی ساده و بر اساس ضریبی از ارتفاع دیوار یا عرض مقطع هستند. به عبارت دیگر، آثار ناشی از بار محوری و تغییر مکان جانبی نسبی در محاسبه‌ی آنها لحاظ نمی‌شود. لذا چگونگی تغییرات عرض مؤثر با پارامترهای ذکر شده به صورت یک خط افقی خواهد بود.

## ۲.۵. سنجش کارایی، روابط پیشنهادی

حال به منظور بررسی کارایی روابط پیشنهادی جهت تخمین عرض مؤثر دیوارهای با مقطع L- شکل از رویکرد دوم، که در بخش قبل تعریف شده است، استفاده و ۲۰٪ ازداده‌های حاصل از شبیه‌سازی عددی به صورت جداگانه به روابط به دست آمده به همراه روابط پیشنهادی آئین نامه‌های: ACI، CEN و BS ارائه شده است. همچنین میانگین قدرمطلق درصد اختلاف مقادیر تخمینی برای عرض مؤثر با مقادیر واقعی نظری، برای هر کدام محاسبه و سپس نسبت مقادیر روابط پیشنهادی به مقدار نظری روابط آئین نامه‌ها تعیین و در جدول ۷ ارائه شده است. اگر نسبت مذکور کمتر از ۱ باشد، نشان از دقت بیشتر روابط پیشنهادی در قیاس با روابط آسی، نامه‌ها دارد.

همان طورکه ملاحظه می شود، بیشتر اعداد جدول ۷ کمتر از ۱ هستند، که حاکی از دقت مطلوب و برتری ضوابط پیشنهادی در برآورد عرض مؤثر مقطع در دیوارهای غیرمستطبی با مقطع L- شکل است. همچنین در جهت تصدیق نتایج پژوهش های انجام شده پیرامون کارایی ضوابط آین نامه های مختلف در برآورد عرض مؤثر در صورتی که نتایج به دست آمده از مدل EPR به عنوان تقریبی از مقادیر واقعی عرض مؤثر تلقی شود، آن گاه به خوبی ملاحظه می شود که عرض مؤثر پیشنهادی آین نامه های ACI و CEN در بسیاری از موارد بیشتر از مقدار واقعی است و در مقابله، عرض، مؤثر پیشنهادی توسط آیین نامه UBC، عمده ای به طور قابل ملاحظه است.

بازه شت ها

- 1. shear-lag
  - 2. Palermo
  - 3. Brueggen
  - 4. Shi & Wang
  - 5. Ni & Cao
  - 6. Hoult
  - 7. Lu & Li
  - 8. evolutionary polynomial regression

11. concrete damage plasticity
12. Jiaxing
13. effective width
14. Ray
15. european seismic design code
16. uniform building code
17. british standard
18. axial load ratio
19. drift

پژوهشی  
مکانیکی  
سازه‌ها

## منابع (References)

1. Hassan, M. and El-Tawil, Sh. "Tension flange effective width in reinforced concrete shear walls", *Structural Journal*, **100**(3), pp. 349-356 (2003).
2. Zhang, Y.-H. and Lin, L.-X. "Shear lag analysis of thin-walled box girders based on a new generalized displacement", *Engineering Structures*, **61**, pp. 73-83 (2014).
3. Castro, J.M., Elghazouli, A.Y. and Izzuddin, B.A. "Assessment of effective slab widths in composite beams", *Journal of Constructional Steel Research*, **63**(10), pp. 1317-1327 (2007).
4. Reissner, E. "Analysis of shear lag in box beams by the principle of minimum potential energy", *Quarterly of Applied Mathematics*, **4**(3), pp. 268-278 (1946).
5. Kuzmanović, B.O. and Graham, H.J. "Shear lag in box girders", *Journal of the Structural Division*, **107**(9), pp. 1701-1712 (1981).
6. Dezi, L. and Mentrasti, L. "Nonuniform bending-stress distribution (shear lag)", *Journal of Structural Engineering*, **111**(12), pp. 2675-2690 (1985).
7. Song, Q.-G. and Scordelis, A.C. "Shear-lag analysis of T-, I-, and box beams", *Journal of Structural Engineering*, **116**(5), pp. 1290-1305 (1990).
8. Cambronero-Barrientos, F., Diaz-del-Valle, J. and Martinez-Martinez, J.-A. "Beam element for thin-walled beams with torsion, distortion, and shear lag", *Engineering Structures*, **143**, pp. 571-588 (2017).
9. Argyridi, A.K. and Sapountzakis, E.J. "Advanced analysis of arbitrarily shaped axially loaded beams including axial warping and distortion", *Thin-Walled Structures*, **134**, pp. 127-147 (2019).
10. Gara, F., Ranzi, G. and Leoni, G. "Simplified method of analysis accounting for shear-lag effects in composite bridge decks", *Journal of Constructional Steel Research*, **67**(10), pp. 1684-1697 (2011).
11. Zhang, Zh. and Li, B. "Shear lag effect in tension flange of RC walls with flanged sections", *Engineering Structures*, **143**, pp. 64-76 (2017).
12. Luo, D., Zhang, Zh. and Li, B. "The effects of shear deformation in non-rectangular steel reinforced concrete structural walls", *Journal of Constructional Steel Research*, **169**, 106043 (2020).
13. Khaloo, A.R., Tabiee, M. and Abdoos, H. "Shear lag effect on non-rectangular RC shear walls: a review of the literature", *7th international Congress on Civil Engineering, Architecture and Urban Development*, Tehran, Iran, p. 11 (In Persian) (2011).
14. Palermo, D., Abdulridha, A. and Charette, M. "Flange participation for seismic design of reinforced concrete shear walls", *Proceedings of the 9th Canadian Conference on Earthquake Engineering*, Ottawa, Canada (2007).
15. Kheyroddin, A. and Mortezaei, A. "Investigation of influential variables in flange effective width of reinforced concrete shear walls", *9th Canadian Conference on Earthquake Engineering*, Ottawa, Canada (2007).
16. Brueggen, B.L. "Performance of T-shaped reinforced concrete structural walls under multi-directional loading", *Diss.* University of Minnesota (2009).
17. Brueggen, B.L., Catherine E.F. and Sri, S. "T-shaped RC structural walls subjected to multidirectional loading: test results and design recommendations", *Journal of Structural Engineering*, **143**(7), 04017040 (2017).
18. Shi, Q.-X. and Wang, B. "Simplified calculation of effective flange width for shear walls with flange", *The Structural Design of Tall and Special Buildings*, **25**(12), pp. 558-577 (2016).
19. Liu, C., Wei, X., Wu, H. and et al. "Research on shear lag effect of t-shaped short-leg shear wall", *Periodica Polytechnica Civil Engineering*, **61**(3), pp. 602-610 (2017).
20. Ni, X. and Cao, Sh. "Shear lag analysis of I-shaped structural members", *The Structural Design of Tall and Special Buildings*, **27**(10), e1471 (2018).
21. Hoult, R.D. "Shear lag effects in reinforced concrete C-shaped walls", *Journal of Structural Engineering*, **145**(3), 04018270 (2019).
22. Lu, N. and Li, W. "Analytical study on the effective flange width for T-shaped shear Walls", *Periodica Polytechnica Civil Engineering*, **64**(1), pp. 253-264 (2020).
23. Khaloo, A.R., Tabiee, M. and Abdoos, H. "Analytical study of distribution of shear lag-induced stress in non-rectangular reinforced concrete shear walls", *12th International Congress on Civil Engineering*, Mashhad, Iran, P. 8 (In Persian) (2021).
24. Khaloo, A.R., Abdoos, H. and Tabiee, M. "A novel approach to the parametric study on the effective flange width of non-rectangular reinforced concrete shear walls", *Journal of Concrete Structures and Materials*, **6**(1), pp. 138-161 (2021).
25. Khaloo, A., Tabiee, M. and Abdoos, H. "A numerical laboratory for simulation of flanged reinforced concrete shear walls", *Journal of Numerical Methods in Civil Engineering*, **6**(3), pp. 92-102 (2022).
26. Zhang, Zh., Luo, D. and Li, B. "Strain nonlinearity and shear lag effect in compressive flange of reinforced concrete structural walls", *ACI Structural Journal*, **118**(3), pp. 199-208 (2021).
27. Arnott, Ke. "Shear wall analysis- new modelling, same answers", *Structural Engineer*, **83**(3), pp. 20-22 (2005).
28. Park, R. and Paulay Th. "Reinforced concrete structure" In *John Wiley & sons, Department of Civil Engineering*, University of Canterbury, Christchurch, pp.1-784, New Zealand (1991).
29. Kent, D.Ch. and Park, R. "Flexural members with confined concrete", *Journal of the Structural Division*, **97**(7), pp. 1969-1990 (1971).

30. Barth, K.E. and Wu, H. "Efficient nonlinear finite element modeling of slab on steel stringer bridges", *Finite Elements in Analysis and Design*, **42**(14-15), pp. 1304-1313 (2006).
31. Jiaxing, M. "Experimental and analytical investigations on seismic behavior of non-rectangular reinforced concrete squat walls", *Doctoral thesis, Nanyang Technological University, Singapore* (2017).
32. Giustolisi, O. and Savic, D.A. "Advances in data-driven analyses and modelling using EPR-MOGA", *Journal of Hydroinformatics*, **11**(3-4), pp. 225-236 (2009).
33. Ahangar-Asr, A., Faramarzi, A., Mottaghifard, N. and et al. "Modeling of permeability and compaction characteristics of soils using evolutionary polynomial regression", *Computers & Geosciences*, **37**(11), pp. 1860-1869 (2011).
34. Lertsima, Ch., Chaisomphob, T., Yamaguchi, E. and et al. "Deflection of simply supported box girder including effect of shear lag", *Computers & Structures*, **84**(1-2), pp. 11-18 (2005).
35. Sa-nguanmanasak, J., Chaisomphob, T. and Yamaguchi, E. "Stress concentration due to shear lag in continuous box girders", *Engineering Structures*, **29**(7), pp. 1414-1421 (2007).
36. Amadio, C. and Fragiocomo, M. "Effective width evaluation for steel-concrete composite beams", *Journal of Constructional Steel Research*, **58**(3), pp. 373-388 (2002).
37. Lin, Zhi. and Zhao, J. "Revisit of AASHTO effective flange-width provisions for box girders", *Journal of Bridge Engineering*, **16**(6), pp. 881-889 (2011).
38. He, X., Xiang, Y., Qiu, X. and et al. "Shear lag including axial balance of box beams by finite segment model", *Journal of Constructional Steel Research*, **189**, 107043 (2022).
39. Ray, S.S. "Reinforced concrete: analysis and design", *Cambridge University Press* (1995).
40. A.C.I.C. 318, "Building Code Requirements for Structural Concrete (ACI 318-19): An ACI Standard", *Commentary on Building Code Requirements for Structural Concrete (ACI 318R-19)*, in: American Concrete Institute (2019).
41. Iranian Concrete Code of Practice (ABA), "Planning and management organization", PN, 120 (2001).
42. Waugh, J.D. "Nonlinear analysis of T-shaped concrete walls subjected to multi-directional displacements", *Iowa State University* (2009).
43. E. CEN, 8, "Design of structures for earthquake resistance—Part 1: General rules, seismic actions and rules for building", *Br. Stand. Institute*, London, UK. (2004).
44. Uniform Building Code International council of Building Officials, "ICBO (International Council of Building Officials)", Whittier, CA, (1994).
45. B.S. BS5400, Steel, "Concrete and composite bridges, Part 5, Code of practice for design of composite bridges", *Br. Stand. Institution*, London (1979).